

# پنهاندی خطر زمین‌لغزش در استان تهران با استفاده از روش‌های داده محور و تحلیل سلسه مراتبی

فرناز کامرانزاد<sup>۱</sup>، عmad محصل افشار<sup>۱</sup>، مسعود مجرب<sup>۲</sup> و حسین معماریان<sup>۳</sup>

<sup>۱</sup>دانشجوی کارشناسی ارشد، دانشکده مهندسی معدن، پردیس دانشکده‌های فنی، دانشگاه تهران، تهران، ایران

<sup>۲</sup>دانشجوی دکترا، دانشکده مهندسی معدن، پردیس دانشکده‌های فنی، دانشگاه تهران، تهران، ایران

<sup>۳</sup>استاد، دانشکده مهندسی معدن، پردیس دانشکده‌های فنی، دانشگاه تهران، تهران، ایران

تاریخ پذیرش: ۱۳۹۳/۱۲/۱۰ تاریخ دریافت: ۱۳۹۲/۱۱/۰۵

## چکیده

زمین‌لغزش یکی از پدیده‌های طبیعی است که هر سال سبب ایجاد خسارات مالی و جانی فراوانی در سطح کشور می‌شود. این رو تشخص مناطق مستعد لغزش، برای به کارگیری روش‌های پیش‌گیری یا مقابله با تأثیراتی دامنه‌ها به منظور کاهش خطر و ریسک حاصل از آنها، بسیار اهمیت دارد. پنهاندی خطر زمین‌لغزش یکی از روش‌های غیرمستقیم و کارآمد در شناسایی این مناطق است. هدف از این مطالعه، استفاده از روش‌های تحلیل آماری (داده محور) و قضایت کارشناسی (تحلیل سلسه مراتبی) برای تعیین میزان خطر و تهیه نقشه پنهاندی در محدوده استان تهران است. به این منظور، ابتدا از میان مهم‌ترین عوامل مؤثر بر زمین‌لغزش، ۶ عامل مقدار شیب، جهت شیب، جنس مصالح زمین‌شناسی، فاصله از گسل، شتاب زمین‌لرزه و میزان بارندگی که تهیه داده‌هایشان برای همه استان تهران امکان‌پذیر بود، بر پایه قضایت مهندسی در محیط GIS کلاسه‌بندی شدند. در روش داده محور، با قطع لایه‌های اطلاعاتی با نقشه پراکنش زمین‌لغزش‌ها و در روش AHP، بر پایه قضایت کارشناسی خبره، لایه‌ها و زیرلایه‌های اطلاعاتی، وزن دهنده و با هم تلقیق شدند و سپس برای هر روش، نقشه پنهاندی خطر زمین‌لغزش در محیط GIS تهیه شد. مقایسه و اعتبارسنجی نتایج نشان داد که در روش داده محور، ۹۲/۹٪ از زمین‌لغزش‌ها در خط‌ناراک (مجموع پنهانه‌های پرخطر و بسیار پرخطر نقشه) با مساحت کل استان تهران) و در روش AHP، ۹۶/۵٪ از زمین‌لغزش‌ها در محدوده خط‌ناراک با مساحت ۱۳۴۴/۷ کیلومترمربع (۵۳/۹٪ از مساحت کل استان تهران) قرار گرفته‌اند. در پایان با تقسیم درصد تعداد زمین‌لغزش در پنهانه خط‌ناراک به درصد مساحت پنهانه خط‌ناراک در کل مساحت استان تهران، نسبت عددی ۲/۵ برای روش داده محور و نسبت عددی ۱/۷۹ برای روش AHP محاسبه شد. مقایسه مقدار نسبت عددی دو روش فوق نشان داد که روش داده محور با نسبت عددی بزرگ‌تر، جواب بهتری داشته است. زیرا نشان‌دهنده آن است که در مقایسه با روش AHP، درصد بالایی از زمین‌لغزش‌ها را در مساحت کوچک‌تری به عنوان پنهانه خط‌ناراک پوشش داده و بنابراین در تعیین پنهانه خط‌ناراک نسبت به روش AHP دقیق‌تر داشته است.

**کلیدواژه‌ها:** پنهاندی، خطر زمین‌لغزش، داده محور، تحلیل سلسه مراتبی (AHP)، استان تهران، GIS.

\*نویسنده مسئول: فرناز کامرانزاد

E-mail: f\_kamranzad@ut.ac.ir

## ۱- پیش‌نوشتار

مشکل پیچیده و چندبعدی خطر زمین‌لغزش است که نیاز به تخصص‌های مختلف علوم زمین به ویژه زمین‌ریخت‌شناسی، زمین‌شناسی مهندسی، آمار، علوم کامپیوتر، فیزیک، فناوری اطلاعات و اقتصاد دارد (Guzzetti et al., 1999). پنهاندی خطر زمین‌لغزش، تقسیم‌بندی سطح زمین به نواحی مجزای همگن و رتبه‌بندی این نواحی بر پایه میزان خطر واقعی یا بالقوه ناشی از حرکت توده‌ای روی شیب دامنه‌های است. بنابراین نقشه خطر زمین‌لغزش به طراحان و مهندسان در جهت انتخاب مکان مناسب برای اجرای طرح‌های توسعه کمک بزرگی می‌کند و نتایج آن می‌تواند به عنوان داده اولیه برای کمک به مدیریت نایابداری‌ها و طراحی کاربری زمین مورد استفاده قرار گیرد (Pradhan, 2011).

تاكون روش‌های مختلفی برای پنهاندی خطر زمین‌لغزش در کشور ارائه شده است که از آن جمله می‌توان به کارهای پیشین انجام شده به روش AHP (ابی و حاجی میررحمی، ۱۳۸۷؛ حاجی فرد و همکاران، ۱۳۹۱)، روش آمار دومتغیره (نصر آزادانی و شیرانی، ۱۳۸۸)، روش نیلسن (شریفی و دریاباری، ۱۳۸۴)، روش رگرسیون چند متغیره (جوادی و همکاران، ۱۳۹۱)، روش مدل آنتروپی (مقیمی و همکاران، ۱۳۹۱)، روش فاکتور اطمینان (بهشتی‌راد و همکاران، ۱۳۸۸)، روش منطق فازی (فرداد و همکاران، ۱۳۹۰) و روش شبکه عصبی مصنوعی (راکعی و همکاران، ۱۳۸۶؛ سوری و همکاران، ۱۳۹۰) اشاره کرد.

هدف از این مطالعه، پنهاندی خطر رخداد زمین‌لغزش در استان تهران به کمک دو روش داده محور (Data Driven) و تحلیل سلسه مراتبی AHP (Analytical Hierarchy Process) است. به علت سابقه رخداد لغزش‌های بسیار

حرکت توده‌ای مواد تشکیل‌دهنده زمین، از یک شیب به سمت پایین را زمین‌لغزش یا تأثیراتی دامنه می‌نامند (IAEG Commission on Landslides, 1990). این حرکت رو به پایین مواد سطحی، تحت تأثیر گرانش زمین صورت گرفته و میزان حرکت این مواد با حضور آب موجود در رسوبات افزایش می‌یابد (Pareta et al., 2012). زمین‌لغزش هر سال در بیشتر استان‌های کشور موجب خسارات اقتصادی به راه‌ها، خطوط راه‌آهن، خطوط انتقال نیرو و ارتباطات، کانال‌های آبیاری و آبرسانی، تأسیسات معدنی، تأسیسات استخراج، پالایش نفت و گاز، شبکه شریان‌های حیاتی درون شهرها، کارخانه‌ها و مرکزهای صنعتی، سدها و دریاچه‌های مصنوعی و طبیعی، جنگل‌ها و مراتع و منابع طبیعی، مزارع و مناطق مسکونی و روستاهایی شود یا آنها را مورد تهدید قرار می‌دهد (پایگاه ملی داده‌های علوم زمین کشور، ۱۳۹۰). بر پایه یک برآورد اولیه، هر سال ۵۰۰ میلیارد ریال خسارات مالی از راه زمین‌لغزش‌ها بر کشور تحمیل می‌شود و این در صورتی است که از بین رفتن منابع طبیعی غیرقابل بازگشت به شمار آورده نشوند (کمک‌پناه و همکاران، ۱۳۷۳). بنابراین، این رقم تنها به خسارات مستقیم اشاره دارد و خسارات غیرمستقیم، مانند هدر رفتن خاک که یکی از مهم‌ترین سرمایه‌های ملی است، افزایش حجم رسوبات در پشت سدها، تغییر بوم‌سامانه (اکوسیستم) مناطق و از بین رفتن جنگل‌ها، خساراتی بیش از این رقم را بر اقتصاد کشور تحمیل می‌کند (پایگاه ملی داده‌های علوم زمین کشور، ۱۳۸۱). از این رو در دهه‌های اخیر، تحلیل و پنهاندی خطر زمین‌لغزش، توجه بسیاری از مهندسان و پژوهشگران حوزه علوم زمین را به خود معطوف کرده است. هدف از چنین بررسی‌هایی، به دست آوردن راه حلی برای

ترانشه برداری و ایجاد گودال اشاره کرد. در این مطالعه، به منظور پهنه‌بندی خطر رخداد زمین‌لغزش در استان تهران، از میان عوامل بادشده، ۶ عامل مقدار شیب، جهت شیب، میزان بارندگی، شتاب زمین‌لرزه، جنس زمین‌شناسی و فاصله از گسل، که از مهم ترین علل ناپایداری دامنه هستند و تهیه داده‌های اشان برای کل استان تهران ممکن بود، به عنوان عوامل ایجاد لغزش در نظر گرفته و نقشه هر یک به صورت رقومی در بانک داده‌ها آماده‌سازی شد (شکل ۲). برای پردازش داده‌های خام موجود و کاهش عدم قطعیت‌ها در محاسبات بعدی و تلفیق صحیح لایه‌های اطلاعاتی، ابتدا فضای محاسباتی یعنی نقشه‌های رستر هر یک از عوامل مؤثر در محدوده مورد مطالعه، با اندازه پیکسل‌های یکسان تهیه شد که در این مطالعه از اندازه پیکسل  $50 \times 50$  متر برای رسم نقشه‌های رستر ۶ عامل مؤثر لغزش در محدوده استان تهران استفاده شده است. برای تهیه نقشه پهنه‌بندی خطر، باید برای هر لایه اطلاعاتی، با کمک معیاری مناسب، تعدادی زیرلایه (کلاس) تعريف شود. سپس به کمک روش‌های داده‌محور و نظر کارشناس خبره، وزن هر یک از لایه‌های اصلی و زیرلایه‌های اشان تعیین و در پایان با ترکیب آنها، میزان خطر در هر پیکسل از نقشه برآورد شد. در ادامه به چگونگی تهیه و آماده‌سازی هر یک از عوامل مؤثر در زمین‌لغزش پرداخته می‌شود. همان‌گونه که پیش تر گفته شد، تا زمان این مطالعه، ۸۵ زمین‌لغزش در استان تهران به طور دقیق ثبت شده است (سازمان جنگل‌ها، مراع و آبخیزداری کشور، ۱۳۹۲) که بیشترشان در محدوده شمال استان و در شهرستان‌های شمیرانات و ساوجبلاغ متصرکاند (شکل ۲-الف).

### ۱- شیب

شیب یکی از مهم‌ترین عوامل مؤثر در لغزش مواد از سطح زمین است. بر پایه ریخت‌شناسی، هر منطقه مطالعاتی ممکن است دارای شیب‌های گوناگونی باشد. استان تهران در محدوده میان پوسته چین خورده ارتفاعات رشته کوه البرز در شمال و نواحی پست دشتی در جنوب آن واقع است. به طور کلی استان تهران را می‌توان بر پایه ریخت‌شناسی آن شامل ۳ نوع شیب مختلف دانست. این استان دارای یک شیب عمومی در جهت شمال به جنوب است. در نواحی شمالی و مرتفع استان به علت وجود چین خورده‌ها و ایجاد ارتفاعات بلند، شیب‌های محلی تند بسیار زیاد است و از سویی شیب محلی در جنوب آن به دلیل متوجه شدن به دشت هموار ری و شهریار، بسیار آرام است. به منظور بررسی تأثیر عامل شیب در رخداد زمین‌لغزش (STRM) استان تهران (DEM) ابتدا نقشه مقدار شیب بر پایه مدل ارتفاعی رقومی (DEM) استان تهران (STRM) تهیه و با توجه به آن، تغییرات شیب متوسط دامنه‌ها در حدود صفر تا ۷۷ درجه تعیین شد (شکل ۲-پ). به منظور ایجاد رده‌بندی مقادیر شیب دامنه‌ها بر پایه یک روند منطقی، ابتدا نمودار ستونی شیب دامنه‌ها رسم شد (شکل ۳). در این نمودار سه روند در تغییرات فراوانی داده‌ها دیده می‌شود. در بخش اول نمودار و برای شیب‌های صفر تا ۱۰ درجه، روند نمودار به صورت نمایی کاھشی است. برای شیب‌های متوسط ۱۰ تا ۲۵ درجه، فراوانی تقریباً ثابت و برای شیب‌های بزرگ از ۲۵ تا ۷۷ درجه، رفتار فراوانی نمودار دوباره به صورت کاھشی است. بنابراین بر پایه روند یادشده تغییرات شیب نمودار ستونی و وجود مرز تقریباً قابل تشخیص در میان این روندها، ۳ رده (زیرلایه اطلاعاتی) به عنوان شیب کم (۰-۱۰ درجه)، شیب متوسط (۱۰-۲۵ درجه) و شیب زیاد (۲۵-۷۷ درجه) برای این منطقه تعريف شد (شکل ۴).

### ۲. جهت شیب

جهت شیب نشان دهنده تأثیر متفاوت میزان دریافت نور خورشید، بادهای گرم و خشک و میزان بارش در جهات مختلف است (سپهوند، ۱۳۸۹). رده‌بندی جهت شیب با توجه به حضور عوامل مختلف در جهات مختلف شیب دامنه و تفاوت در روند گسترش دامنه‌ها صورت می‌گیرد. دامنه کوههای استان تهران در رشته کوه البرز، دارای روند عمومی خاوری- باخته‌ی هستند و جهت شیب عمومی دره‌ها شمالی- جنوبی است (شکل ۲-ت). واضح است که به دلیل قرارگیری منطقه در نیم کره شمالی، دامنه‌های جنوبی نسبت به دامنه‌های شمالی آن، تابش بیشتری از نور

قبلی، وجود عوامل مؤثر فعال در ناپایداری دامنه‌ها و نیز الگوی متراکم سکونت و شهرنشینی و سازه‌های مهم مهندسی، بررسی خطر و ریسک زمین‌لغزش در این استان اهمیت بسیار بالای دارد. از این رو در این مقاله، ابتدا داده‌های مربوط به ۶ عامل مؤثر در زمین‌لغزش شامل شیب، جهت شیب، جنس زمین‌شناسی، بارندگی، شتاب زمین‌لرزه و فاصله از گسل برای کل محدوده استان تهران گردآوری شده است. سپس با قطع نقشه پراکنش زمین‌لغزش‌ها در روش داده‌محور و قضایت کارشناسی در روش AHP، لايه‌ها و زيرلايه‌های اطلاعاتی وزن‌دهی و با تلفیق لایه‌های وزن‌دار برای هر روش، نقشه پهنه‌بندی خطر رخداد زمین‌لغزش، شامل ۴ پهنه با پتانسیل بسیار پر خطر، پر خطر، خطر متوسط و کم خطر تهیه و تفسیر شده است. در پایان، به منظور مقایسه دقت دو روش در برآورد ناحیه خطرناک زمین‌لغزش (مجموع پهنه‌های پر خطر و بسیار پر خطر نقشه) در استان تهران، نسبت عددی NR محاسبه شده است.

## ۲- معرفی محدوده مورد مطالعه

استان تهران با مساحتی حدود ۱۹۱۹۶ کیلومتر مربع در محدوده جغرافیایی ۵۰ تا ۵۳ درجه خاوری و ۳۶/۵ تا ۳۵ درجه شمالی واقع است (شکل ۱). این استان به دلیل داشتن ویژگی‌های گوناگون سنگ‌شناختی، زمین‌ساختی، زمین‌ریخت‌شناختی، توپوگرافی، لرزه‌خیزی و شرایط گوناگون آب و هوایی، مستعد خطر زمین‌لغزش است و به دلیل تراکم شهرنشینی، از دید ریسک شهرنشینی، از دید ریسک زمین‌لغزش نیز بسیار اهمیت دارد. از دید ساختاری بخش شمالی استان به پهنه زمین‌ساختی البرز و بخش‌های جنوبی آن به پهنه ایران مرکزی نسبت داده می‌شود. عبور گسل‌های بزرگ مشا و شمال تهران در شمال و گسل ایوانکی در جنوب این استان، گوناگونی در شیب و جهت شیب دامنه‌های رشته کوه البرز و همچین تناوب لایه‌های توفیق سیز و شیل‌های توفیق، نهشته‌های ماسه‌ای سفت نشده، تراس‌های کهن و گدازه‌های بازالتی، شرایط مساعدی را برای ناپایداری دامنه‌ها بهویژه در شمال این استان فراهم کرده است. مهم‌ترین مناطق لغزشی استان تهران از دید کمیت و کیفیت به ترتیب عبارت از: حوضه‌های آبخیز طالقان، سد لیان، سد کرج، داموند و ماملو، فیروزکوه، سد لار، رودخانه کردان و شمال تهران (فتحی اردکانی، ۱۳۷۳). مخاطرات لغزش در تهران سابقه زیادی دارد. برای نموده می‌توان به لغزش‌های کهن گلابدره در شمال شهر تهران، لغزش بزرگ مبارک آباد در جاده هراز و لغزش تار در شمال خاور دامادن اشاره کرد که احتمال می‌رود بر اثر فعالیت گسل مشا و رخداد زمین‌لرزه در این مناطق رخ داده باشدند. طی سال‌های اخیر نیز لغزش‌های بسیاری در محدوده استان تهران بهویژه به علت افزایش کاربری زمین‌ها صورت گرفته است؛ مانند لغزش‌های در روزه سه‌نگی اوشان- فشم در سال ۱۳۸۳، شهرک مجلس فرحزاد در سال ۱۳۸۳، میگون در اسفند ۱۳۸۴، سد لیان در سال ۱۳۸۴، آتشگاه کرج در سال ۱۳۸۶. تاکنون تعداد زیادی زمین‌لغزش در استان تهران شناسایی شده‌اند که از این میان ۸۵ زمین‌لغزش به طور دقیق به همراه جزئیات و عوامل ایجاد کننده آنها ثبت شده‌اند (سازمان جنگل‌ها، مراع و آبخیزداری کشور، ۱۳۹۲) و دارای گزارش تفصیلی هستند که داده‌های این ۸۵ زمین‌لغزش مبنای کار در این پژوهش است.

## ۳- معرفی و آماده‌سازی داده‌ها

اوین گام در تحلیل و پهنه‌بندی خطر زمین‌لغزش، در اختیار داشتن داده‌ها و اطلاعاتی در مورد زمین‌لغزش‌های پیشین رخ داده در منطقه مورد مطالعه و عوامل مؤثر در رخداد آنهاست. عوامل زیادی می‌توانند در ناپایداری دامنه‌ها نقش داشته باشند که از آن میان می‌توان به مقدار شیب دامنه، جهت شیب، جنس و ترکیب کانی‌شناسی و مصالح زمین‌شناسی، سطح آب زیرزمینی، زمین‌لرزه، فاصله از گسل، کاربری زمین‌ها، ارتعاش ناشی از کار ماشین آلات ساخته‌مانی یا ترافیک، وجود آبراهه‌ها، بارش باران و برف، چرخه هوازدگی (مرطوب شدن، خشک شدن و انحلال)، فرونیست زمین،

نتیجه رویداد زمین لرزه هستند (Pedram, 1991). در بسیاری از زمین لرزه ها، خسارات غیرمستقیم مانند رخداد زمین لغزش، برابر و یا حتی بیش از خسارات مستقیم ناشی از خود زمین لرزه بوده است (مهدوی فر، ۱۳۸۱). برای بررسی اثر متغیر شتاب زمین لرزه (Tavakoli & Ghafory-Ashtiani, 1999) از نقشه پهنه بندی خطر زمین لغزش های ثبت شده در استان تهران در محدوده شمالی استان در پهنه با خطر بسیار بالا ( $0/25g$ ) ثبت شده اند و دو پهنه خطر دیگر ( $0/25g$  و  $0/3g$ ) در ناحیه دشت و دارای تعداد کمی زمین لغزش هستند (شکل ۲-ج). از آنجایی که بیشتر زمین لغزش های ثبت شده در استان تهران در محدوده استان به دو پهنه با شتاب ( $0/2g$  و  $0/3g$ ) رده بندی شد (شکل ۹).

### ۲-۶. میزان بارندگی

بارندگی یکی از عوامل مؤثر در ایجاد ناپایداری دامنه هاست. بیشترین تعداد گسیختگی دامنه ها پس از بارندگی های سنگین و یا ذوب برف در بهار و به علت نفوذ آب در شکاف ها صورت می گیرد (شادرف و یمانی، ۱۳۸۶). برای بررسی اثر بارندگی در رخداد زمین لغزش ها در استان تهران، ابتدا آمار متوسط بارش ماهیانه سازمان هوواشناسی کشور برای ۵۰ سال گذشته در استان تهران تهیه (شکل ۲-ث) و نمودار ستونی متوسط بارندگی ماهانه رسم شد (شکل ۱۰). بر پایه این نمودار، در نقاط مختلف استان تهران، مقادیر بارندگی متوسط ماهانه میان ۱۷۰ تا  $780$  میلی متر است. به کمک تغییرات روند نمودار ستونی می توان سه رده برای مقادیر بارندگی تعریف کرد. بخش اول نمودار ستونی که مربوط به بارندگی کم حدود  $270$  میلی متر است، بیشترین فراوانی را نشان می دهد. دسته دوم مقادیر بارندگی متوسط است که محدوده  $270-500$  میلی متر را دربر می گیرد و دسته سوم که فراوانی کمتری را نسبت به دو بخش پیش نشان می دهد، مربوط به مقادیر بارندگی زیاد در حدود بیشتر از  $500$  میلی متر است. بنابراین بر این اساس،  $3$  رده به عنوان زیر لایه بارندگی تعریف شد (شکل ۱۱).

## ۴- معرفی روش ها

در این مطالعه به منظور تعیین میزان خطر رخداد زمین لغزش در نقاط مختلف استان تهران از دو روش داده محور و تحلیل سلسه مراتبی استفاده شده است؛ به طوری که تحلیل خطر در روش داده محور بر پایه آمار داده های زمین لغزش های ثبت شده و در روش AHP بر پایه تصمیم گیری چند معیاری توسط قضاوت کارشناس خبره صورت می گیرد.

### ۴-۱. روش داده محور

مبانی اصلی محاسبات در هر مطالعه آماری با کمک روش داده محور، وجود اطلاعاتی در مورد تعداد و مکان رخداد پدیده ها و عوامل مؤثر در ایجاد آنهاست. در این روش ها رابطه متغیر مؤثر در رخداد زمین لغزش با پراکندگی زمین لغزش ها، مورد سنجش و ارزیابی قرار می گیرد (اشقلی فراهانی، ۱۳۸۰). بنابراین، از اطلاعات رخدادهای پیشین یک پدیده برای وزن دهنی به عوامل اصلی مؤثر در ایجاد آن پدیده و وزن دهنی به زیر لایه های شناس استفاده می شود و وزن و سهم مشارکت هر یک از متغیرهای مؤثر در رخداد زمین لغزش به دست می آید (افلاکی، ۱۳۸۶). در روش داده محور اگر فرض شود چندین عامل مهم در ایجاد یک پدیده نقش داشته باشند، وزن هر یک از این عوامل اصلی از تقسیم تعداد دفعات تکرار آن عامل به تعداد کل رخداد عوامل مؤثر به دست می آید. برای به دست آوردن وزن زیر لایه های هر عامل اصلی مؤثر، مسئله به این صورت روشن می شود که اگر برای نمونه، از یک پدیده (مانند زمین لغزش)، عدد نمونه رخداد مطلوب وجود داشته باشد که تعدادی عامل اصلی در ایجاد آن پدیده نقش داشته و یکی از آن عوامل اصلی (مانند جنس زمین شناسی) سه زیر لایه I، II و III (مانند خاک، سنگ نرم و سنگ سخت) داشته باشد، وزن هر زیر عامل برابر نسبت نمونه های متنسب به آن گزینه به کل نمونه های

خورشید را در طول روز دریافت می کنند و آب و هوای خشک تری دارند و در برابر آن دامنه های شمالی آن مرطوب و پرپاران تر هستند. از سویی به دلیل جهت حرکت عمومی بادها از باختر به خاور، میزان بارش های جوی در دامنه های باختری نیز بیشتر از دامنه های خاوری است. بنابراین به دلیل گوناگونی شرایط آب و هوایی در ۴ جهت اصلی رشته کوه البرز، جهات شبی دامنه ها به ۴ رده شمالی، جنوبی، خاوری و باختری رده بندی شدند (شکل ۵).

### ۳-۳. جنس زمین شناسی

در ابتدا داده های جنس زمین شناسی از نقشه زمین شناسی استان تهران (احذرثاد، ۱۳۸۱) استخراج شد (شکل ۲-ح). برای رده بندی جنس مواد زمین شناسی مؤثر در ناپایداری دامنه ها، روش های مختلف وجود دارد. در بسیاری از مطالعات پیشین این رده بندی بر پایه سازنده های اصلی یا لایه های زمین شناسی مهم موجود در منطقه انجام شده است (راکعی و همکاران، ۱۳۸۶؛ سوری و همکاران، ۱۳۹۰). اما از آنجایی که مفهوم لغزش در مهندسی ژئوتکنیک، به عدم مقاومت توده سنگی یا خاکی واقع در دامنه در برابر نیروهای محرك بر می گردد، در این مطالعه سعی شده است تا برای ایجاد یک رده بندی منطقی، از مشخصات ژئومکانیکی مصالح و قضاوت مهندسی استفاده شود. به این منظور در ابتدا فهرست  $73$  نوع جنس مصالح زمین شناسی موجود در استان تهران از نقشه زمین شناسی استخراج شد. سپس با کمک جداول ژئوتکنیکی موجود (معماریان، ۱۳۸۷) مقاومت فشاری تک محوری مانند هر  $73$  نوع جنس به طور تقریبی برآورد شد. از دید ژئوتکنیکی، مقاومت فشاری تک محوری  $1$  مگا پاسکال مز میان خاک و سنگ تعریف می شود. بنابراین مقاومت موجود در منطقه با مقاومت فشاری تک محوری کمتر از  $1$  مگا پاسکال به عنوان خاک و بالاتر از این حد به عنوان سنگ دسته بندی شدند. سپس سنگ های نیز بر پایه جداول سختی و مقاومت هر نوع جنس، به دو دسته سنگ های نرم و سخت تقسیم شدند (جدول ۱). در پایان، لایه ها بر پایه مقاومت و سختی مصالح زمین شناسی به سه رده خاک، سنگ نرم و سنگ سخت تقسیم شدند (شکل ۶).

### ۳-۴. فاصله از گسل

گسل ها در ایجاد و یا فعل اسازی دوباره مناطق دارای پتانسیل لغزش نقش مؤثری دارند. خردشده گی و برشی شدن در مناطق گسلی، نفوذ آب از این مناطق به درون دامنه ها، پیدا شی نایپوستگی در پیرامون گسل و اختلاف فرسایش در دامنه ها از جمله اثراتی است که می توان به آنها اشاره کرد. حرکت گسل نیز می تواند به نوعی شروع لغزش در دامنه باشد (راکعی و همکاران، ۱۳۸۶). بنابراین فاصله از گسل نقش مهمی در رخداد لغزش دارد. برای محاسبه حریم گسل، ابتدا نقشه گسل های فعل ایران (حسامی و همکاران، ۱۳۸۲) (شکل ۲-چ) تهیه شد و بر پایه آن، نمودار ستونی طول گسل های فعل (L) موجود در استان تهران به دست آمد (شکل ۷). بر پایه تغییرات نمودار ستونی طول گسل ها،  $3$  مز میان فراوانی ها تعیین و بنابراین  $3$  دسته گسل با طول کوتاه (کمتر از  $10$  کیلومتر)، گسل های متوسط (با طول  $10-30$  کیلومتر) و گسل های بزرگ (بیشتر از  $30$  کیلومتر) رده بندی شدند. در مرحله بعد برای هر یک از این سه دسته، طول گسیختگی سطحی (SRL) طبق رابطه تجربی (1995) Zare بر پایه  $\% 37$  طول گسل برای محدوده گسل های ایران و نیز بزرگ ای گشتاوری ( $M_w$ ) بر پایه رابطه Wells & Coppersmith (1994) به دست آمد (جدول ۲). در پایان، عرض متوسط گسیختگی به عنوان حریم گسل (RW) بر پایه رابطه تجربی (1994) Wells & Coppersmith برای هر دسته تعیین شد (جدول ۳). از آنجایی که فاصله از گسل به عنوان یکی از عوامل مؤثر در زمین لغزش در نظر گرفته شده است، برای انجام محاسبات تحلیل خطر، منطقه به دو رده درون حریم گسل و بیرون از آن تقسیم شد (شکل ۸).

### ۳-۵. ستاب زمین لرزه

بررسی های صحرا ای در ایران نشان می دهد که بیشتر زمین لغزش های کهن بزرگ،

در این روش محاسبه خطر زمین‌لغزش در سه مرحله اصلی انجام شده است:

- (۱) محاسبه وزن عوامل اصلی مؤثر در ایجاد زمین‌لغزش
  - (۲) محاسبه وزن زیر لایه‌های هر یک از عوامل اصلی
  - (۳) محاسبه وزن‌های پایانی برای تولید نقشه پهنه‌بندی
- برای به دست آوردن وزن عوامل اصلی زمین‌لغزش، در ابتدا برای هر یک از ۵ عوامل اصلی ثبت شده، بر پایه اولویت، ضربی در نظر گرفته می‌شود (جدول ۵). برای عوامل اصلی قابل بررسی زمین‌لغزش، نسبت مجموع تکرار ضرب در ضرب اولویت عامل به مجموع کل به دست می‌آید. این نسبت همان وزن آن عامل است که هر چه تکرار بیشتری داشته باشد و یا در اولویت‌های جلوتر ثبت شده باشد، آن عامل وزن بیشتری می‌گیرد. در مطالعه حاضر برای ایجاد زمین‌لغزش ۶ عامل مؤثر در نظر گرفته شد که بدین ترتیب وزن هر یک از این عوامل اصلی طبق روش بالا به دست آمد (جدول ۶) برای به دست آوردن وزن هر کدام از زیرلایه‌های یک عامل اصلی، از نسبت گرفتن تعداد زمین‌لغزش‌های رخ داده در زیرلایه مورد نظر، به کل زمین‌لغزش‌ها استفاده می‌شود. برای نمونه عامل شتاب در زمین‌لغزش‌های استان تهران به دو زیرلایه شتاب متوسط و شتاب بالا تقسیم شده است. از میان ۸۵ زمین‌لغزش ثبت شده، ۷۲ مورد از آنها در ناحیه با شتاب بالا و ۱۳ مورد در ناحیه شتاب متوسط جای گرفته‌اند. بنابراین وزن زیرلایه شتاب بالا برابر  $\frac{72}{85}$  و وزن زیرلایه شتاب متوسط به دست می‌آید. وزن زیر لایه‌های عوامل اصلی دیگر نیز به همین ترتیب به دست آمد (جدول ۷). سپس مقدار وزن هر پیکسل از نقشه به دست آمد. خروجی عامل ضرب و مجموع مقادیر ۶ عامل برای هر پیکسل از ضرب تا شش دارد. مقدار حاصل نقشه‌ای دارای نواحی مختلفی است که مقداری از صفر تا شش دارد. مقدار صفر متناظر با کمترین خطر زمین‌لغزش و مقدار شش متناظر با مراتب بالاترین خطر زمین‌لغزش است. برای تحلیل و مقایسه نتایج، نقشه پهنه‌بندی به ۴ پهنه با خطر کم، خطر متوسط، خطر زیاد و خطر خیلی زیاد رده‌بندی شد (شکل ۱۴).

## ۵. کاربرد روش تحلیل سلسه مراتبی در تحلیل خطر زمین‌لغزش

برای تهیه نقشه پهنه‌بندی خطر زمین‌لغزش‌های استان تهران به کمک روش تحلیل سلسه مراتبی ابتدا سلسه مراتب محاسبات تعیین شد (شکل ۱۵). سپس پرسشنامه‌هایی در اختیار افراد خبره قرار گرفت تا بر پایه تجربه و علم این افراد در مسئله زمین‌لغزش، به ۶ عامل مؤثر در ایجاد زمین‌لغزش‌ها و زیرلایه‌های آنها وزن دهی شود. افراد خبره شامل جمعی از اساتید دانشکده فنی دانشگاه تهران و کارشناسان زمین‌لغزش سازمان جنگل‌ها، مراتع و آبخیزداری هستند. پرسشنامه‌ها بر پایه سامانه نمرده‌هی جدول ۴ و مقادیر ترجیحات برای مقایسه‌های زوجی برای زمین‌لغزش‌های استان تهران تکمیل و پس از آن محاسبه وزن‌های عوامل اصلی و زیرلایه‌ها طبق روش AHP انجام شد (جدول‌های ۸ و ۹). مشابه روش داده‌محور، پس از ضرب وزن هر زیرلایه در وزن عامل آن زیرلایه، وزن‌های پایانی به روش AHP به دست آمد. به طوری که به هر پیکسل از نقشه استان تهران میزان خطر مقداردهی و نقشه پهنه‌بندی با ۴ پهنه با خطر کم، خطر متوسط، خطر زیاد و خطر خیلی زیاد تهیه شد (شکل ۱۶).

### ۳. تحلیل و تفسیر نتایج

پس از تهیه نقشه‌های پهنه‌بندی، تفسیر و بررسی اعتبار و میزان دقت و درستی نتایج حاصل از هر دو روش و نیز مقایسه میان روش‌ها صورت گرفت. برای هر نقشه چهار پهنه (بسیار پرخطر، پرخطر، خطر متوسط و کم خطر) تعریف و با تقسیم مساحت هر یک از این پهنه‌ها به مساحت کل استان تهران، سهم هر یک از پهنه‌ها در استان تهران بر حسب درصد به دست آمد ( $S_{\%}$ ) (جدول ۱۰). در مرحله بعد، تعداد زمین‌لغزش‌های موجود در هر پهنه شمارش و با تقسیم آن بر کل  $85$  مورد زمین‌لغزش رخ داده در استان، درصد رخداد زمین‌لغزش در هر پهنه به دست آمد ( $L_{\%}$ ) (جدول ۱۱). برای مقایسه نتایج حاصل از دو روش داده‌محور و AHP، با تقسیم  $L_{\%}$  به  $S_{\%}$  در هر پهنه نسبت عددی (Numerical Ratio) NR (Numerical Ratio) به دست آمد (جدول ۱۲).

رخداد پدیده است. با این شرط که هر داده حتماً و بیشینه به یک گزینه مناسب باشد (شکل ۱۲). پس از تعیین مقدار وزن‌های عوامل اصلی و زیرلایه‌های هریک از آنها، برای به دست آوردن وزن پایانی هر جزء از نقشه، باید وزن پایانی هر زیرلایه در کل را به دست آورد که نشانگر میزان اهمیت آن ویژگی در کل است. اگر لایه‌های عوامل اصلی به بخش‌های زیرلایه‌ها تقسیم و برای هر زیرلایه، مقدار وزن آن قرار داده شود، برای هر عامل نقشه رده‌بندی تولید می‌شود که هر بخش از آن، مقداری برابر وزن زیرلایه خود را دارد. چنانچه مقادیر هر یک از نقشه‌های رده‌بندی وزن داده شده در وزن خود عامل اصلی ضرب و همه این نقشه‌ها با هم جمع شوند، نقشه پایانی دارای نواحی مختلفی است که هر ناحیه آن مقدار دارد و به عنوان نقشه پهنه‌بندی ارائه می‌شود.

## ۴. روش تحلیل سلسه مراتبی

فرایند تحلیل سلسه مراتبی (AHP) (Saaty, 1980) شناخته شده‌ترین و مورد استفاده‌ترین روش نسبت دهی چندمعیاری است. روش AHP امکان تعیین اهمیت نسبی مجموعه‌ای از متغیرهای موجود در یک مسئله تصمیم‌گیری چندمعیاری را فراهم می‌کند. این روش موجب ترکیب قضاوت در مورد معیارهای کیفی غیر قابل مشاهده در کنار معیارهای کمی محسوس می‌شود (Badri, 2001). به طور کلی فرایند تحلیل سلسه مراتبی بر سه اصل زیر استوار است (Dagdeviren, 2008):

(۱) ایجاد یک سلسه مراتب

(۲) قضاوت مقایسه‌ای میان گزینه‌ها و معیارها

(۳) ترکیب اولویت‌ها

در مرحله اول روش AHP، یک مسئله چندمعیاری در ابتدا به سلسه مراتبی از عناصر تصمیم‌گیری واپسخواه هم (اهداف، نسبت‌ها، معیارها، گزینه‌ها و ...) تقسیم می‌شود که در یک ساختار سلسه مراتبی مشابه با سطوح شجره‌نامه خانوادگی به ترتیب قرار می‌گیرند. در این ساختار، هدف کلی مسئله در بالا، معیارهای چندگانه که گزینه‌ها را تعریف می‌کنند در وسط و گزینه‌های تصمیم‌گیری در پایین جای می‌گیرند (Albayrak & Erensal, 2004). در مرحله دوم پس از ایجاد ساختار سلسه مراتبی، چگونگی اولویت‌بندی به منظور تعیین اهمیت نسبی عناصر در هر سطح آغاز می‌شود. اولویت نسبی داده شده به هر عنصر در سلسه مراتب، با مقایسه سهم دویبه‌دو هر عنصر در یک سطح پایین با توجه به معیار (یا عناصر) با یک رابطه علت و معلوی تعیین می‌شود (Macharis et al., 2004). مقایسه‌های زوجی چندگانه بر پایه یک مقیاس مقایسه استاندارد با ۹ سطح توسط کارشناسان خبره به عنوان تصمیم‌گیرندگان به صورت قضاوت‌های شفاهی و با مقداردهی عددی انجام می‌شود (جدول ۴). در مرحله سوم این روش، پس از مقایسه زوجی میان عناصر هر سطح نسبت به عنصر مربوط به خود در سطح، اولویت‌ها توسط یک ماتریس وزن‌ها و به صورت ریاضی با هم ترکیب می‌شود و وزن عناصر به دست می‌آید (قدسی‌بور، ۱۳۹۱).

## ۵. کاربرد روش‌ها در پهنه‌بندی خطر زمین‌لغزش

### ۱. کاربرد روش داده محور در تحلیل خطر زمین‌لغزش

برای تهیه نقشه پهنه‌بندی خطر زمین‌لغزش با استفاده از روش داده‌محور، ابتدا فهرست کاملی از زمین‌لغزش‌های دقیق ثبت شده در استان تهران از بانک اطلاعات تفصیلی سازمان جنگل‌ها، مراتع و آبخیزداری کشوری تهیه شد. تا زمان بررسی حاضر، فهرست داده‌ها شامل  $85$  زمین‌لغزش رخ داده با مختصات مکانی و عوامل مؤثر در ایجاد آنها است. گفتنی است که در زمان تهیه داده‌های هر زمین‌لغزش، ۵ عامل اصلی به ترتیب اولویت تأثیر در ایجاد ناپایداری توسط کارشناس سازمان یادشده در محل رخداد ثبت شده است. بنابراین وزن لایه‌های عامل‌های اصلی زمین‌لغزش و زیرلایه‌های آنها مستقیماً از اطلاعات زمین‌لغزش‌های ثبت شده به دست آمده است.

به موقع و دقیق اطلاعات لرزه‌ای ممکن است گاه سبب شود تا عامل شتاب زمین‌لرزه، به اشتباه به عنوان عامل تأثیرگذار ثبت نشود. ضمن آنکه عوامل مؤثر دیگری مانند میزان فرسایش و کاربری زمین‌ها به صورت کوتاه‌مدت به‌دقت قابل بررسی و ثبت نیست. همچنین می‌توان تأثیر عوامل بیشتری را در ایجاد خطر زمین‌لغزش بررسی کرد که هر یک مشکلات خاص خود را دارد. برای نمونه کنترل دائم پوشش گیاهی، پایش سطح آب زیرزمینی در نزدیکی دامنه مستعد لغزش، حجم برف روی دامنه‌ها و مدت زمان مرطوب بودن دامنه، جهت باد و میزان تابش خورشید عوامل تأثیرگذاری هستند که اندازه گیری آنها نیازمند امکانات زیادی است و یا ممکن نیست.

(۳) در روش تحلیل سلسله مراتبی، پرسشنامه‌ای که برای مقایسه زوجی میان عوامل و یا زیرلایه‌ها طراحی شده است، جزئیات زیادی را مورد پرسش قرار می‌دهد؛ به‌طوری که برای مقایسه میان عوامل اصلی و زیرلایه‌های آنها به تعداد زیادی جدول مقایسه‌ای نیاز است. همچنین برای مقایسه میان دو عامل، کمی کردن میزان ترجیح در سطح (جدول) (۴) بسیار دشوار است و دقت معنی‌داری ندارد. در صورتی که می‌توان پرسش‌ها را با<sup>۳</sup> نمره به معنی‌های ارجحیت کم یا متوسط و یا زیاد راحت‌تر انجام داد.

## ۶- نتیجه‌گیری

در این مطالعه برای بررسی خطر زمین‌لغزش در استان تهران از دو روش داده‌محور بر پایه آمار زمین‌لغزش‌های پیشین و روش تحلیل سلسله مراتبی بر پایه قضاوت کارشناس خبره برای وزن‌دهی به عوامل مؤثر در ایجاد خطر زمین‌لغزش استفاده شد. پس از تهیه نقشه پهنه‌بندی، مجموع پهنه‌های پرخطر و بسیار پرخطر نقشه به عنوان پهنه خطرناک معرفی شد و محاسبه نسبت درصد زمین‌لغزش در پهنه خطرناک به درصد مساحت این پهنه در کل مساحت استان تهران نشان داد که روش داده‌محور با نسبت عددی ۲/۵ پاسخ مطلوب‌تری را نسبت به روش AHP با نسبت عددی ۱/۷۹ ارائه می‌کند و دقت آن در برآورد محدوده خطرناک بیشتر است.

## سپاسگزاری

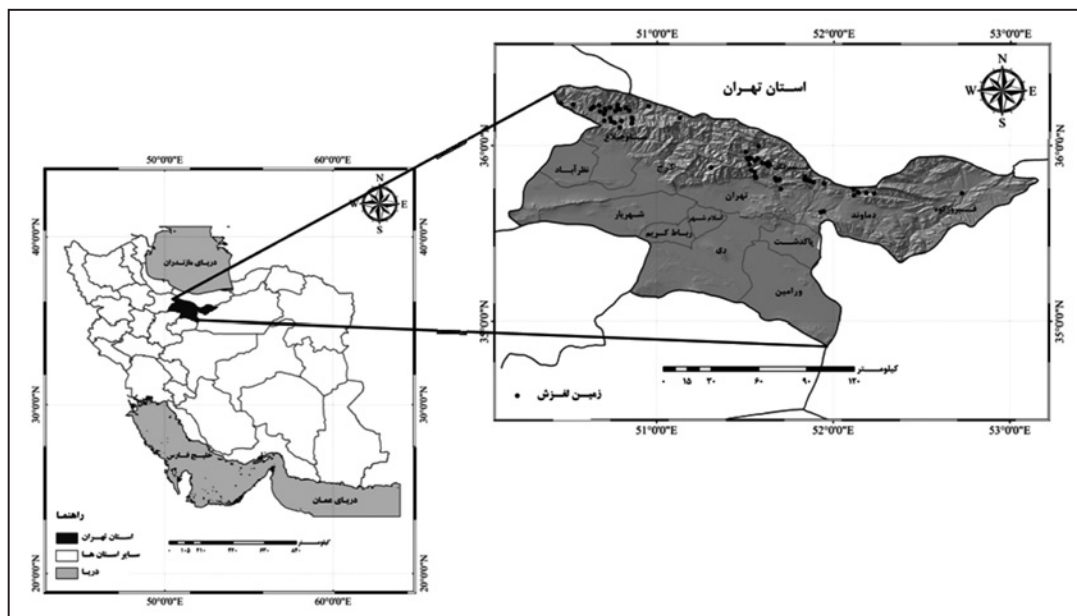
از سازمان جنگل‌ها، مرتع و آبخیزداری کشور برای در اختیار گذاردن داده‌های زمین‌لغزش استان تهران، از آقایان مهندس‌اکبری، مهندس قبادی و مهندس قربانی در بخش پایدارسازی دامنه‌های لغزشی و مهندسی این سازمان برای راهنمایی‌های ارزشمند و استفاده از تجارت و نقطه‌نظرات‌شان و نیز از شرکت پارس پیاب برای در اختیار گذاردن داده‌های هواشناسی ۵۰ سال گذشته استان تهران سپاسگزاری می‌شود.

$$NR = L\% / S\%$$

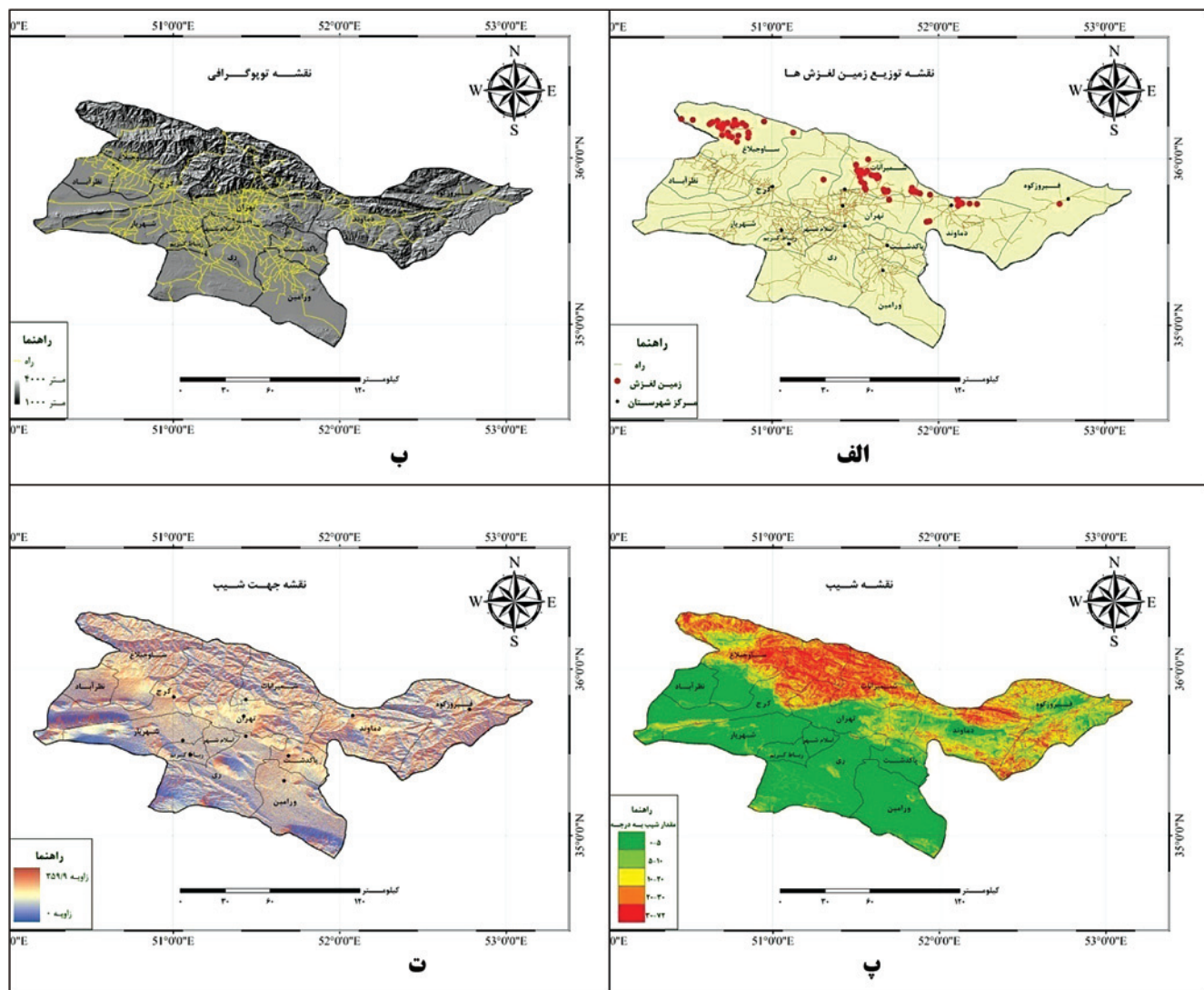
(۱) بنابراین برای هر یک از پهنه‌ها، این نسبت عددی با تقسیم درصد زمین‌لغزش هر پهنه به درصد مساحت آن به دست آمد. از آنجایی که مطالعات پهنه‌بندی در ابعاد استان انجام شده است و با توجه به ریسک بالای زمین‌لغزش در استان تهران، تعیین یک ناحیه خطرناک مفید است. از این رو محدوده خطرناک نقشه به صورت مجموع پهنه‌های پرخطر و بسیار پرخطر در نظر گرفته شد و به منظور تعیین دقت هر روش در برآورد، نسبت عددی NR<sub>g</sub> برای این محدوده خطرناک به دست آمد. هر چه این نسبت عددی بزرگ‌تر باشد، نشان‌دهنده آن است که تعداد بیشتری زمین‌لغزش در محدوده کوچک‌تری از نقشه پوشش داده شده است. نتایج نشان داد که در روش داده‌محور ۹۲/۹ از زمین‌لغزش‌ها در محدوده خطرناک با مساحت ۷۱۳۵/۱۵ کیلومتر مربع (۳۷/۲٪ از مساحت کل استان) و در روش AHP ۹۶/۵ از زمین‌لغزش‌ها در این محدوده با مساحت ۱۰۳۴۴/۷ کیلومتر مربع قرار گرفته‌اند که این مساحت در رواقع ۵۳/۹٪ از مساحت کل استان تهران را دربرمی‌گیرد. بنابراین نسبت عددی در روش داده‌محور ۲/۵ و در روش AHP ۱/۷۹ نسبت عددی نشان می‌دهد که دقت و درستی روش داده‌محور در ارائه نتایج از روش AHP بیشتر است. زیرا روش داده‌محور در مقایسه با روش AHP، درصد بالایی از زمین‌لغزش‌ها را در مساحت کوچک‌تری به عنوان پهنه خطرناک پوشش داده است.

با توجه به این مطالعه مشخص شد که در برآورد خطر رخداد زمین‌لغزش به روش‌های داده محور و تحلیل سلسله مراتبی، چالش‌های زیادی وجود دارد؛ برای نمونه: (۱) بهعلت فاصله زیاد برخی از زمین‌لغزش‌های مهم از مناطق شهری و مشکل دسترسی به آن مناطق، عدم بررسی زمین‌لغزش‌ها بر پایه یک استاندارد یکسان و هزینه‌بر بودن بررسی همه رخدادهای کوچک و بزرگ ناپایداری دامنه‌ها، می‌توان ادعا کرد که با نک اطلاعات تفصیلی زمین‌لغزش‌ها در استان تهران از دید تعداد محدود است و این داده‌ها به صورت کامل و همگن در دسترس نیست. در نتیجه کم بودن تعداد نمونه‌ها از جامعه کل زمین‌لغزش‌ها می‌تواند خطای پهنه‌بندی خطر را بالا ببرد. همچنین نمونه‌ها تصادفی انتخاب نشده‌اند و بیشتر، زمین‌لغزش‌های نزدیک به راه یا تأسیسات و فعالیت‌های بشری ثبت شده‌اند که سبب می‌شود چگونگی توزیع داده‌ها نامتوازن باشد.

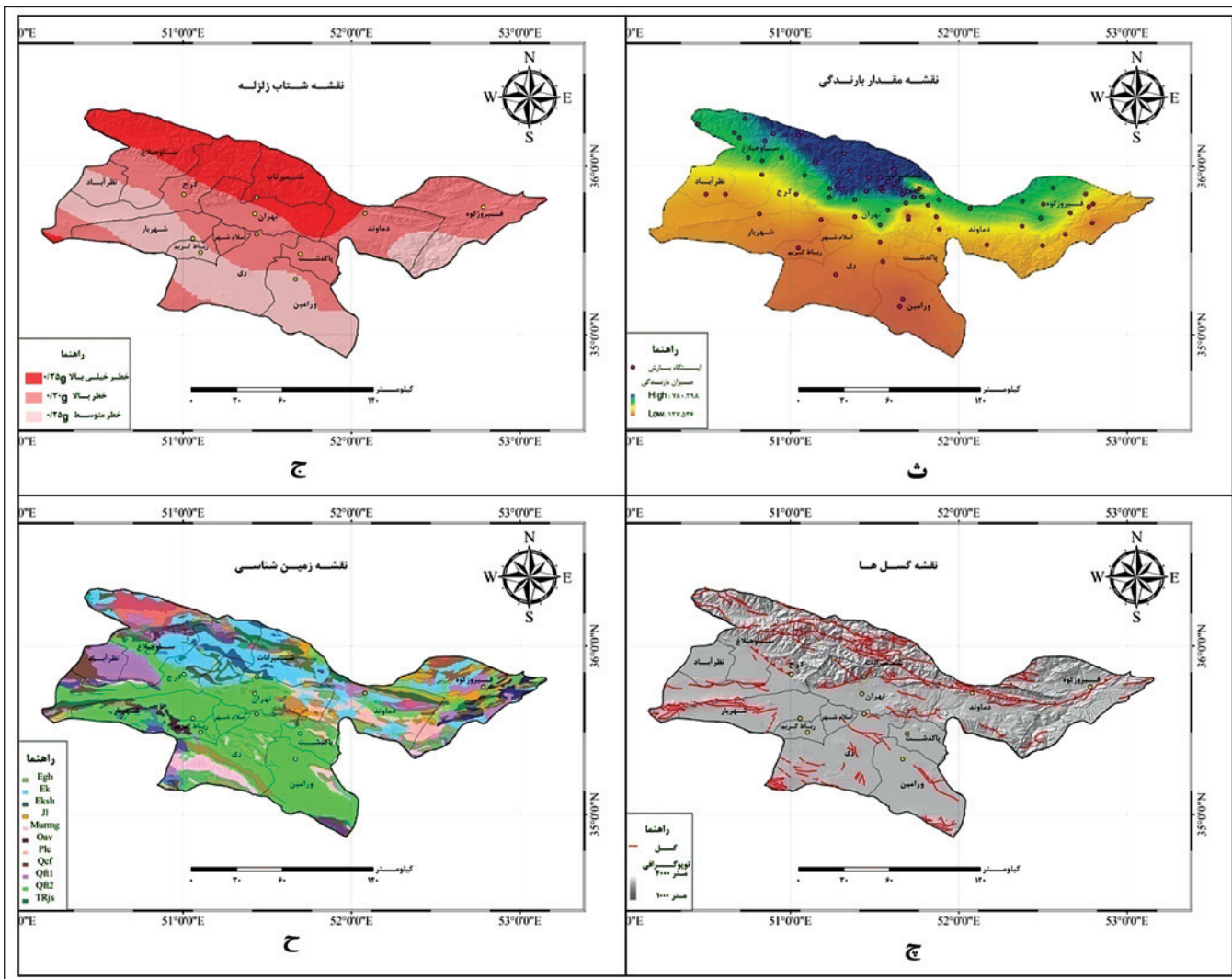
(۲) ثبت عوامل تأثیرگذار در لغزش تا حد زیادی به نظر کارشناس حاضر در منطقه وابسته است. برای نمونه برای ثبت عامل شتاب زمین‌لرزه نیاز است تا داده‌های مربوط به رخداد زمین‌لرزه مؤثر در رخداد زمین‌لغزش در اختیار باشد. بنابراین عدم بررسی



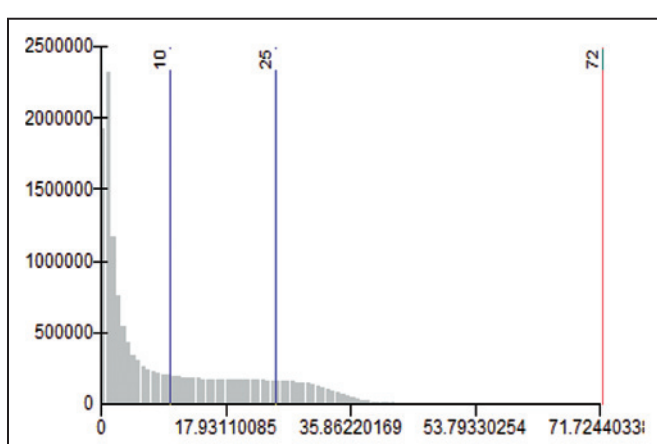
شکل ۱- موقعیت جغرافیایی استان تهران در کشور.



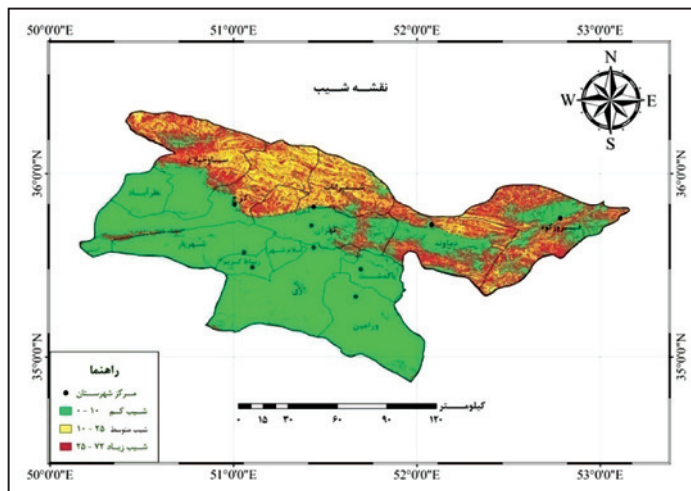
شکل ۲- نقشه لایه‌های اطلاعاتی مورد استفاده در برآورد خطر زمین‌لغزش در استان تهران. (الف) پراکنش زمین‌لغزش‌ها (سازمان جنگل‌ها، مراتع و آبخیزداری، ۱۳۹۲)، (ب) توپوگرافی (نقشه DEM مربوط به SRTM)، (گ) شبیب (مستخرج از نقشه DEM)، (د) جهت شبیب (مستخرج از نقشه DEM).



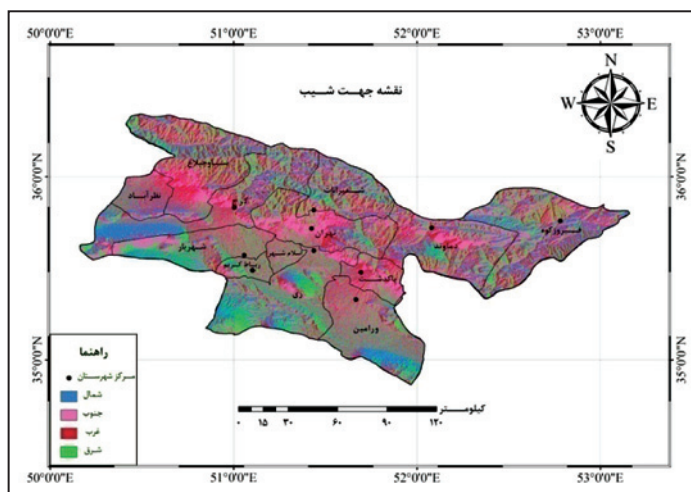
شکل ۲- نقشه لایه های اطلاعاتی مورد استفاده در برآورد خطر زمین لغزش در استان تهران. ث) بارندگی (سازمان هواشناسی کشور، ۱۳۹۲؛ ج) شتاب زمین لزه (حسامی و همکاران، ۱۳۸۲؛ ح) زمین شناسی (احدثزاد، ۱۳۸۱). (Tavakoli & Ghafory- Ashtiany, 1999).



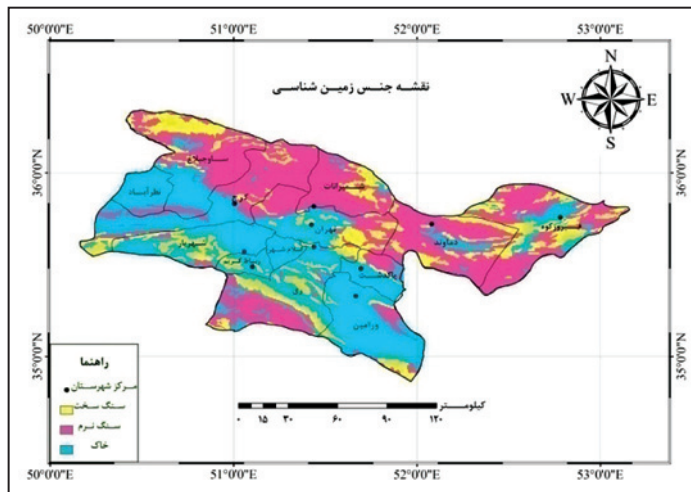
شکل ۳- چگونگی تقسیم‌بندی و انتخاب رده‌ها در لایه شیب بر پایه نمودار ستونی نقشه شیب منطقه.



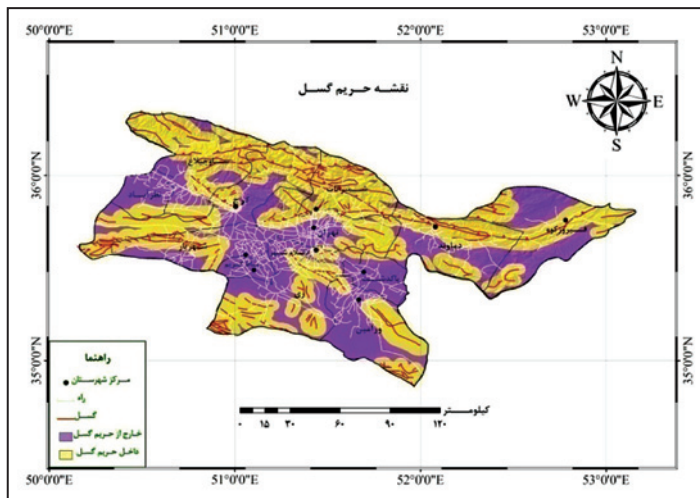
شکل ۴- نقشه رده‌بندی شده شیب با ۳ زیرلایه با شیب ۰-۱۰-۲۵ و ۲۵-۷۲ درجه.



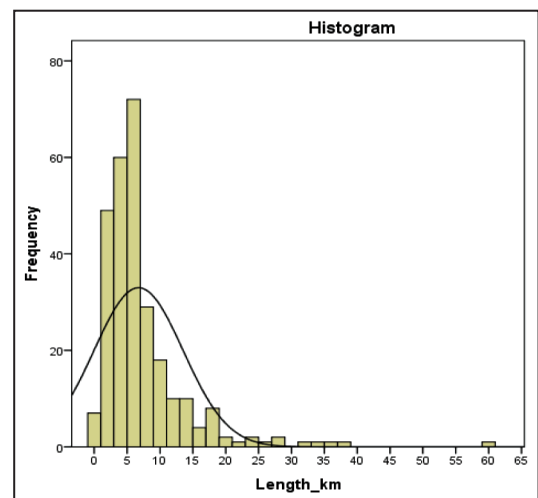
شکل ۵- نقشه رده‌بندی شده جهت شیب با ۴ زیرلایه شمالی، جنوبی، مخاوری و باختری.



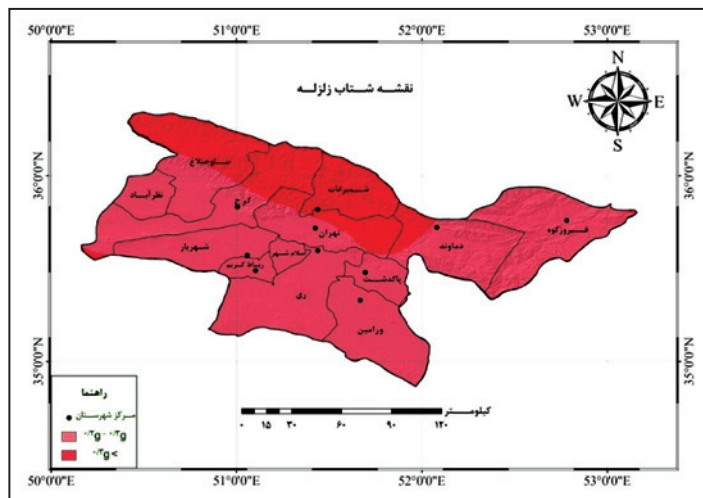
شکل ۶- نقشه رده‌بندی جنس مصالح بر پایه مشخصات ژئومکانیکی به ۳ دسته خاک، سنگ نرم و سنگ سخت.



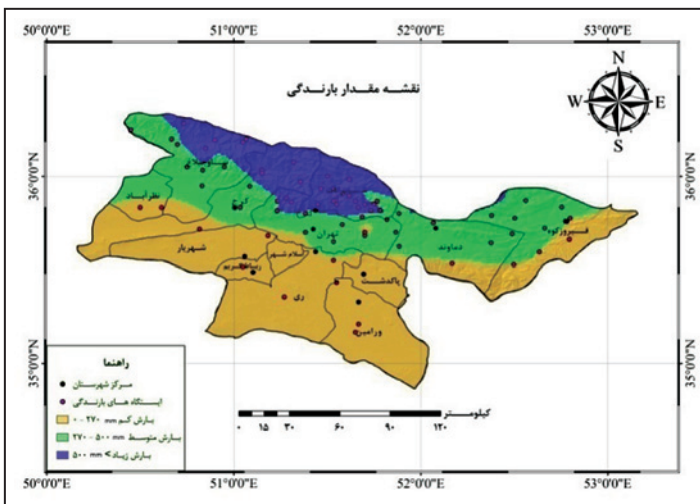
شکل ۸- نقشه ردهبندی منطقه به دو پهنه درون و بیرون از حروم گسل.



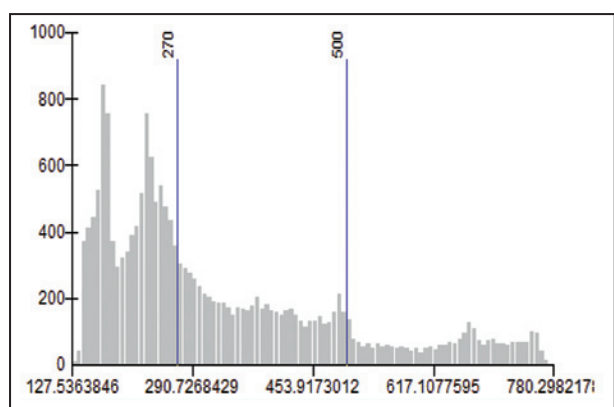
شکل ۷- نمودار ستونی (هیستوگرام) طول گسل‌های فعل استان تهران.



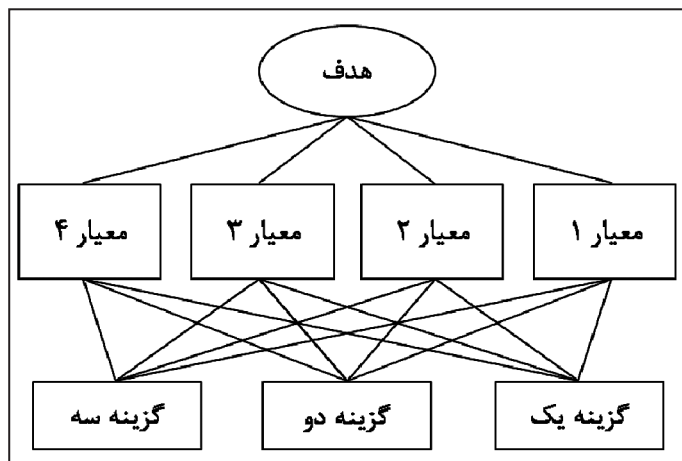
شکل ۹- نقشه ردهبندی مقادیر شتاب زمین لرزه.



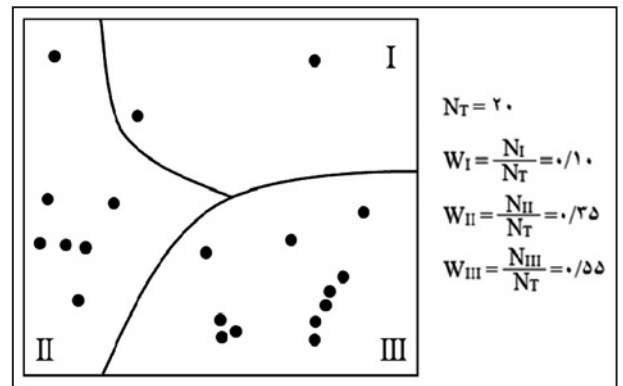
شکل ۱۱- نقشه ردهبندی مقادیر بارندگی ماهیانه.



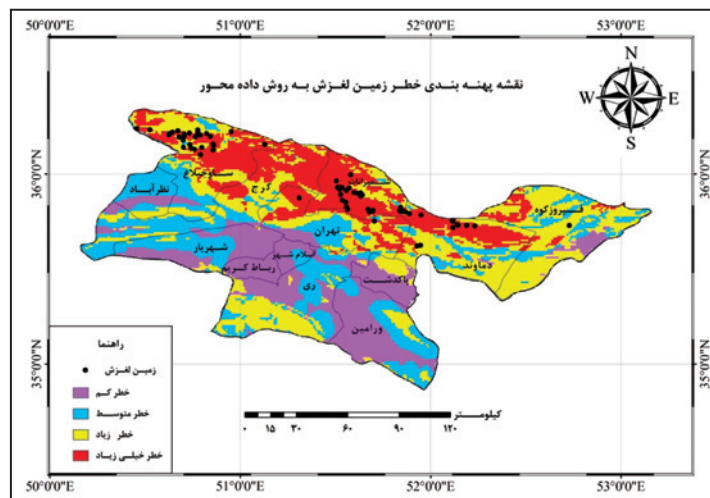
شکل ۱۰- نمودار ستونی مقادیر بارندگی در ۵۰ سال گذشته در استان تهران.



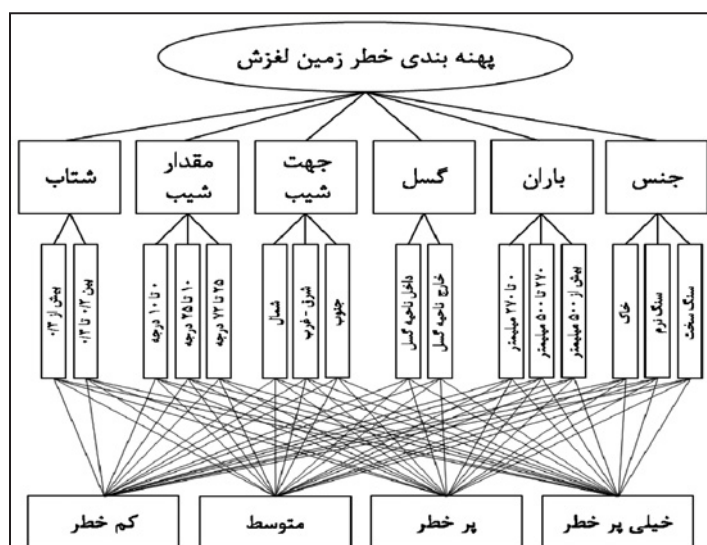
شکل ۱۳- ارتباط عناصر تصمیم گیری در یک فرایند تحلیل سلسله مراتبی.



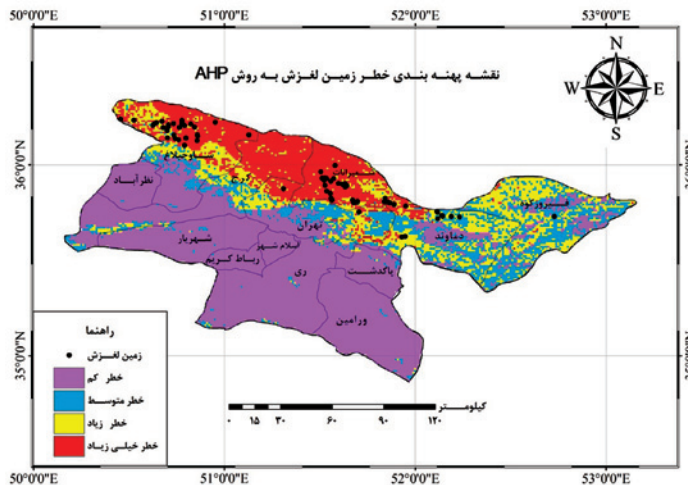
شکل ۱۲- تعیین وزن هر بخش از کل سطح بر پایه درصد تعداد نمونه در آن.



شکل ۱۴- نقشه پهنه‌بندی خطر زمین‌لغزش به روش داده محور.



شکل ۱۵- فرایند تحلیل خطر زمین‌لغزش با روش تحلیل سلسله مراتبی (AHP).



شکل ۱۶- نقشه پهنه‌بندی خطر زمین‌لغزش به روش تحلیل سلسله مراتبی (AHP).

جدول ۱- ردۀ زمین‌شناسی متناظر با ۷۳ نوع جنس موجود در نقشه زمین‌شناسی استان تهران.

خاک	سنگ فرم	سنگ سخت
نهشته‌های ماسه‌ای سفت‌نشده (Q <sub>s</sub> ,d) تراس‌های کهن (Qft2) پهنه‌رسی (Qcf) تراس‌های کهن (Qft1)	کنگلومرا، ماسه‌سنگ و گل‌سنگ (Plc) شیل، مارن ژیپس‌دار و ماسه‌سنگ (Mursh) مارن گچ‌دار (Murm) مارن گچ‌دار با میان‌لایه‌های ماسه‌سنگ (Murm) ماسه‌سنگ‌های زرد تا سرخ، مارن گچ‌دار، سیلت استون و شیل (Mur) مارن، ماسه‌سنگ و سنگ‌آهک (Mm,s,l) سنگ‌آهک ریفی (OMql) توف‌های داسیتی (OMdvt) ژیپس (Olg) توف سبز و شیل‌های توفی (Ek) توف داسیتی (Edt) توف داسیتی آندزیتی (Ed.at) توف و گدازه‌های بازالتی (Ebvt) توف و گدازه‌های آندزیتی (Eavt) ژیپس (Ekgy) توف آندزیتی (Eat) شیل با میان‌لایه‌های توف (Eksh) شیل‌آهکی با میان‌لایه‌های توف (Ek.a) ماسه‌سنگ، مارن و سنگ‌آهک (E2s) مارن، گچ، سنگ‌آهک (E1m) سنگ‌آهک ریفی و مارن ژیپس‌دار سازند زیارت (PeE2) سنگ‌آهک‌های اربیتولین دار (Ktzl) سنگ‌های کربناتی (Jk) سنگ‌آهک با میان‌لایه‌های شیل سازند دلچیای (Jd) سنگ‌آهک اولویتی، سنگ‌آهک شیلی و دولومیت (TRe) ماسه‌سنگ، سیلت استون، رس‌سنگ با میان‌لایه‌های زغال (TRjs) ماسه‌سنگ قرم و شیل همراه با میان‌لایه‌های سنگ‌آهک ماسه‌ای (Pd) سنگ‌آهک فسیل دار خاکستری تیره با میان‌لایه‌های شیل سیاه (Cm) سنگ‌آهک، شیل و مارن تفكیک‌نشده (Db.sh) ماسه‌سنگ آرکوزی و سیلت استون میکادار (Cl) سنگ‌آهک تربیلویت دار دولومیتی ماسه‌سنگ و شیل (COM) ماسه‌سنگ و سیلت استون‌های میکادار (Cz1) سیلت استون‌های میکادار و ماسه‌سنگ درشت‌دانه سازند زایگون (Cz) واحدهای دولومیتی و سنگ‌آهک با میان‌لایه‌های شیل (pC-Cs) شیل‌های سیلتی با میان‌لایه‌های ماسه‌سنگ (pCk) مارن، ماسه‌سنگ و آهک (E3m)	دیبوریت (Qdi) گدازه‌های بازالتی (Qbv) گدازه‌های آندزی بازالتی (Qa.bv) کنگلومرا پلی‌ژنتیک (PLQc) گرانودیبوریت (Plrg-di) گدازه‌های آذزی بازالتی (OMa.bv) کنگلومرا ماسه‌سنگ (Olcs) گرانودیبوریت (Ogr-di) گرانیت (Ogr) گدازه‌های داسیتی (Odv) نیمه‌آتش‌شانی‌های داسیتی (Odsv) دیبوریت (Odi) گدازه‌های آندزیتی (Oav) گدازه‌های آندزی بازالتی (Ed.av) گابرو (Egb) توف و گدازه‌های آندزیتی (Edvt) داسیت‌های نیمه‌آتش‌شانی (Edvs) گدازه‌های بازالتی (Ebv) نیمه‌آتش‌شانی‌های آندزیتی (Eavs) گدازه‌های آندزیتی (Eav) گدازه‌های آندزی بازالتی (Ea.bv) کنگلومرا پلی‌ژنتیک سرخ و ماسه‌سنگ (E1c) کنگلومرا درشت‌دانه پلی‌ژنتیک با میان‌لایه‌های ماسه‌سنگ (Pgkc) سنگ‌های تفكیک‌نشده (Ku) کنگلومرا و ماسه‌سنگ (K2c) سنگ‌های کرتاسه (K) گدازه‌های بازالتی (Kb) سنگ‌آهک خاکستری (Jl) کنگلومرا سفید کوارتزی (Juc) سنگ‌های تفكیک‌نشده پرمین (P) سنگ‌آهک خاکستری و متوسط لایه (Pr) سنگ‌های تفكیک‌نشده (pC-C) گدازه‌های آندزیتی (Edv)

جدول ۲- روابط مورد استفاده در محاسبه طول گسیختگی، بزرگای پتانسیل بر پایه طول گسل و عرض گسیختگی.

رابطه	متغیرها
$SRL = 0.37 L_f$ (Zare, 1995)	طول گسیختگی سطحی = $SRL$ طول گسل = $L_f$
$M_w = a + b * \log(SRL)$ (Wells & Coppersmith, 1994)	بزرگای گشتاوری = $M_w$ ضرایب ثابت رابطه = $b$ و $a$ (به ازای همه داده‌ها $a = 5/0.8$ و $b = 1/16$ )
$\log(RW) = a + b.M_w$ (Wells & Coppersmith, 1994)	عرض گسیختگی = $RW$ ضرایب ثابت رابطه = $b$ و $a$ (به ازای همه داده‌ها $a = -1/0.1$ و $b = 0.32$ )

جدول ۴- مقادیر ترجیحات برای مقایسه‌های زوجی (Saaty, 1980).

مقدار عددی	ترجیحات (قضاؤت شفاهی)
۹	کاملاً مرجع یا کاملاً مهم‌تر یا کاملاً مطلوب‌تر
۷	ترجیح یا اهمیت یا مطلوبیت خیلی قوی
۵	ترجیح یا اهمیت یا مطلوبیت قوی
۳	کمی مرجع یا کمی مهم‌تر یا کمی مطلوب‌تر
۱	ترجیح یا اهمیت یا مطلوبیت یکسان
۲ و ۴ و ۶ و ۸	ترجیحات میان فواصل فوق

جدول ۵- وزن عوامل اصلی زمین‌لغزش به روش داده‌محور.

وزن %	عوامل اصلی زمین‌لغزش
۳۸/۳	جنس
۳۰/۷	باران
۱۶/۴	گسل
۶/۲	جهت شیب
۵	مقدار شیب
۳/۴	شتاب

جدول ۳- عرض گسیختگی (حریم گسل) بر پایه طول گسیختگی گسل.

عرض گسیختگی (حریم گسل)	رده
گسل‌های کوچک با طول کمتر از ۱۰ کیلومتر	۶/۷
گسل‌های متوسط با طول ۱۰-۳۰ کیلومتر	۱۰
گسل‌های بزرگ با طول بیش از ۳۰ کیلومتر	۱۳/۱

جدول ۶- ضرایب عوامل اصلی موثر در زمین‌لغزش.

ضریب	عامل اصلی
۵	عامل اصلی اول
۴	عامل اصلی دوم
۳	عامل اصلی سوم
۲	عامل اصلی چهارم
۱	عامل اصلی پنجم

جدول ۷- وزن زیرلایه‌های عوامل اصلی به روش داده‌محور.

عامل اصلی	زیر لایه	وزن %	عامل اصلی	زیر لایه	وزن %
جنس	خاک	۵/۹	شمال	جهت شیب	۱۵/۳
سنگ نرم	سنگ سخت	۷۷/۶	خارو		۳۰/۶
باران	تا ۲۷۰ میلی‌متر در سال	۱۶/۵	باخت		۲۵/۹
سنگ سخت	تا ۵۰۰ میلی‌متر در سال	۰	جنوب		۲۸/۲
باخت	بیش از ۵۰۰ میلی‌متر در سال	۴۹/۴	۱۰ تا ۱۰ درجه	مقدار شیب	۱۲/۹
درون ناحیه گسیختگی گسل	درون ناحیه گسیختگی گسل	۵۰/۶	۱۰ تا ۲۵ درجه		۷۰/۶
گسل	بیرون ناحیه گسیختگی گسل	۹۱/۸	۲۵ تا ۷۲ درجه		۱۶/۵
	بیرون ناحیه گسیختگی گسل	۸/۲	بیش از ۰/۳ شتاب گرانش	شتاب	۸۴/۷
			۰/۲ تا ۰/۳ شتاب گرانش		۱۵/۳

جدول ۸- وزن عوامل اصلی زمین‌لغزش به روش AHP

وزن %	عوامل اصلی زمین‌لغزش
۳۰/۱۵	مقدار شیب
۲۳/۳۵	گسل
۱۴/۳۰	باران
۱۲/۷۲	جهت شیب
۱۱/۶۵	شتاب
۷/۸۴	جنس

جدول ۹- وزن زیرلایه‌های عوامل اصلی به روش AHP

عامل اصلی	زنگ سخت	وزن %	زنگ نرم	عامل اصلی	وزن %
جنس	خاک	۶۱/۶	جهت شیب	شمال	۳۹/۳
باران	سنگ ترمو	۲۸/۸	جهت شیب	خاور- باختر	۱۴/۳
	سنگ سخت	۹/۷	مقدار شیب	جنوب	۴۶/۴
	۰ تا ۲۷۰ میلی متر در سال	۹/۵	مقدار شیب	۰ تا ۱۰ درجه	۹/۵
	۰ تا ۲۷۰ میلی متر در سال	۲۴/۹		۱۰ تا ۲۵ درجه	۲۴/۹
	بیش از ۵۰۰ میلی متر در سال	۶۵/۶		۰ تا ۲۵ درجه	۶۵/۶
گسل	درون ناحیه گسیختگی گسل	۹۱/۸		بیش از ۰/۳ شتاب گرانش	۷۵
	بیرون ناحیه گسیختگی گسل	۸/۲		۰/۳ تا ۰/۰ شتاب گرانش	۲۵

جدول ۱۰- درصد مساحت هر ناحیه به مساحت کل استان تهران %

ناحیه	% AHP	روش داده محور %
پهنه کم خطر	۲۱/۳۶	۴۸/۵۰
پهنه خطر متوسط	۲۴/۷۵	۱۴/۳۳
پهنه پر خطر	۳۲/۸۴	۱۶/۱۵
پهنه بسیار پر خطر	۲۱/۰۵	۲۱/۰۲

جدول ۱۲- نسبت عددی  $S_i / L_i = NR_i$  برای هر پهنه برای دو روش داده محور و AHP

ناحیه	AHP	روش داده آماری
پهنه کم خطر	.	.
پهنه خطر متوسط	۰/۱۴	۰/۴۹
پهنه پر خطر	۰/۷۵	۱/۶۸
پهنه بسیار پر خطر	۳/۴۱	۲/۱۳
ناحیه خطرناک پهنه بسیار پر خطر و پر خطر	۱/۷۹	۲/۵۰

جدول ۱۱- درصد زمین‌لغزش ثبت شده در هر ناحیه %

ناحیه	% AHP	روش داده محور %
پهنه کم خطر	.	.
پهنه خطر متوسط	۳/۵۳	۷/۰۶
پهنه پر خطر	۲۴/۷۱	۲۷/۰۶
پهنه بسیار پر خطر	۷۱/۷۶	۶۵/۸۸

## کتابنگاری

احذرزاد، و.، ۱۳۸۱- نقشه زمین‌شناسی استان تهران، پایگاه ملی داده‌های علوم زمین، سازمان زمین‌شناسی و اکتشافات معدنی کشور. اشقلی فراهانی، ع.، ۱۳۸۰- پایان‌نامه کارشناسی ارشد زمین‌شناسی مهندسی، ارزیابی خطرناپایداری دامنه‌های طبیعی در منطقه روبدار با استفاده از تئوری فازی، دانشگاه تربیت معلم تهران، ۱۴۴۲.

افلاکی، ا.، ۱۳۶۸- آزمایشگاه مکانیک خاک، انتشارات علم و صنعت، ۱۵۶ ص. باي، ن. و حاجی‌مير حیمی، س. م.، ۱۳۸۷- پهنه‌بندی خطر زمین‌لغزش با استفاده از روش AHP، همايش ژئوماتیک، ۹ ص. بهشتی راد، م.، فيض‌نیا، س.، سلاجقه، ع. و احمدی، ح.، ۱۳۸۸- بررسی کارایی مدل پهنه‌بندی خطر زمین‌لغزش فاکتور اطمینان (CF) مطالعه موردی حوضه آبخیز معلم کلایه، فصلنامه جغرافیای طبیعی، سال دوم، شماره ۵، صص ۱۹ تا ۲۸.

پایگاه ملی داده‌های علوم زمین کشور ([www.ngdir.ir](http://www.ngdir.ir))

جوادی، م. ر.، طهرانی‌پور، ۵، غلامی، ش. ع. و فتاحی اردکانی، م. ع.، ۱۳۹۱- مقایسه روش‌های مورا و وارسون و رگرسیون چندمتغیره در پهنه‌بندی خطر زمین‌لغزش حوضه آبخیز کن، پژوهشنامه مدیریت حوضه آبخیز، سال سوم، شماره ۵.

حاتمی‌فرد، ر.، موسوی، س. ح. و علیمرادی، م.، ۱۳۹۱- پهنه‌بندی خطر زمین‌لغزش با استفاده از مدل AHP و تکنیک GIS در شهرستان خرم‌آباد، نشریه جغرافیا و برنامه‌ریزی محیطی، سال ۲۳، پیاپی، شماره ۳، صص ۴۳ تا ۶۰.

حسامی، خ.، جمالی، ف. و طبیی، ح.، ۱۳۸۲- نقشه گسل‌های فعل ایران، پژوهشگاه بین‌المللی زلزله‌شناسی و مهندسی زلزله.

- راکعی، ب.، خامه‌چیان، م.، عبدالملکی، پ. و گیاهچی، پ.، ۱۳۸۶- کاربرد سیستم شبکه عصبی مصنوعی در پهنه‌بندی خطر زمین‌لغزش (مطالعه موردي: تاحیه سفیدار گله در استان سمنان)، مجله علوم دانشگاه تهران، جلد ۳۳، شماره ۱، صص ۵۷ تا ۶۴.
- سازمان جنگل‌ها، مراتع و آبخیزداری کشور، ۱۳۹۲- فهرست زمین‌لغزش‌های کشور، گروه مطالعه امور زمین‌لغزش‌ها، دفتر مهندسی و ارزیابی طرح‌ها.
- سازمان هواشناسی کشور، ۱۳۹۲- فهرست میزان بارندگی استان تهران در سال ۹۲.
- سپهوند، ع. ر.، ۱۳۸۹- پهنه‌بندی خطر زمین‌لغزش با استفاده از شبکه عصبی مصنوعی در بخشی از حوضه آبخیز هراز، پایان‌نامه کارشناسی ارشد، دانشکده منابع طبیعی و علوم دریایی نور، دانشگاه تربیت مدرس.
- سوری، س.، لشکری‌پور، غ.، غفوری، م. و فرهادی‌نژاد، ط.، ۱۳۹۰- پهنه‌بندی خطر زمین‌لغزش با استفاده از شبکه عصبی مصنوعی (مطالعه موردي: حوضه کشوری (نوژیان)), مجله زمین‌شناسی مهندسی دانشگاه تربیت معلم، دوره ۵، شماره ۲.
- شادفر، ص. و یمانی، م.، ۱۳۸۶- پهنه‌بندی خطر زمین‌لغزش در حوضه آبخیز جلیسان با استفاده از مدل LNRF، پژوهش‌های جغرافیایی، شماره ۶۲، صص ۱۱ تا ۲۳.
- شریفي، ر. و درباري، س. ج.، ۱۳۸۴- روش نيسن و بهينه‌سازی آن در پهنه‌بندی خطر زمین‌لغزش، فصلنامه تحقیقات جغرافیایی، سال بیستم، شماره ۱ (پیاپی ۷۶)، صص ۷۸ تا ۸۹.
- فتاحی اردکانی، م. ع.، ۱۳۷۳- مقاله گزارشی پیرامون زمین‌لغزش در استان تهران، اولین سمینار زمین‌لغزه و کاهش خسارات آن، پژوهشگاه بین‌المللی زلزله‌شناسی و مهندسی زلزله، صص ۹۲ تا ۱۰۲.
- فرداد، م.، آل‌شيخ، ع. ا. و فایي‌نژاد، ع.، ۱۳۹۰- پهنه‌بندی حساسیت خطر زمین‌لغزش با روش‌های منطق فازی (Fuzzy) و شبکه عصبی (Neural Network) در GIS (مطالعه موردي منطقه مال خایله)، پائزدهمین همایش زمین‌شناسی ایران.
- قدسی‌پور س. ح.، ۱۳۹۱- فرایند تحلیل سلسه مراتبی، انتشارات دانشگاه صنعتی امیرکبیر، ویرایش اول، چاپ دهم، ۲۲۲ ص.
- کمک‌پناه، ع.، منتظر القائم، س. و چدنی، ا.، ۱۳۷۳- پهنه‌بندی خطر زمین‌لغزش در ایران، زمین‌لغزه و مروری بر زمین‌لغزه‌های ایران (جلد اول)، پژوهشگاه بین‌المللی زلزله‌شناسی و مهندسی زلزله، ۶۵ ص.
- معماريان ح.، ۱۳۸۷- زمین‌شناسی مهندسی و ژئوتکنیک، انتشارات دانشگاه تهران، چاپ پنجم، ۹۵۳ ص.
- مقیمی، ا.، باقری سید شکری، ط. و صفرداد، ط.، ۱۳۹۱- پهنه‌بندی خطر و قوع زمین‌لغزش با استفاده از مدل آنتروپی (مطالعه موردي: تاقدیس نساز زاگرس شمال باختری)، پژوهش‌های جغرافیای طبیعی، شماره ۷۹، صص ۷۷ تا ۹۰.
- مهندوي‌فر، م. ر.، ۱۳۸۱- ارزیابی تحلیلی و طراحی سامانه مدیریت ریسک زمین‌لغزش‌های ناشی از زمین‌لرزه در کشور، پایان‌نامه دکترا، پژوهشگاه بین‌المللی زلزله‌شناسی و مهندسی زلزله.
- نصرآزادانی، ا. و شیرانی، ک.، ۱۳۸۸- ارزیابی و مقایسه روش‌های پهنه‌بندی آماری دومتغیره با استفاده از GIS (مطالعه موردي حوضه آبخیز دز علیا)، همایش ژئوماتیک.

## References

- Albayrak, E. & Erensal, Y. C., 2004- Using analytic hierarchy process(AHP) to improve human performance: An application of multiple criteria decision making problem, Journal of Intelligent Manufacturing, 15, 491–503.
- Badri, M. A., 2001- A combined AHP-GP model for quality control systems, International Journal of Production Economics, No. 72, Pp 27–40.
- Dagdeviren, M., 2008- Decisionmaking in equipment selection: an integrated approachwithAHPandPROMETHEE, Journal of Intelligent Manufacturing, 19, 397–406.
- Guzzetti, F., Carrara, A., Cardinali, M. & Reichenbach, P., 1999- Landslide hazard evaluation: a review of current techniques and their application in a multi-scale study, Central Italy, Geomorphology, 31, 181–216.
- IAEG Commission on Landslides, 1990- Suggested nomenclature for landslides Bulletin of the International Association of Engineering Geology, No. 41, pp. 13-16.
- Macharis, C., Springael, J., Brucker, K. D. & Verbeke, A., 2004- PROMETHEE and AHP: The design of operational synergies in multicriteria analysis. StrengtheningPROMETHEEwith ideas of AHP, European Journal of Operational Research, 153, 307–317.
- Pareta, K., Kumar, J. & Pareta, U., 2012- Landslide Hazard Zonation using Quantitative Methods in GIS, International Journal of Geospatial Engineering and Technology, Vol. 1, No. 1, pp. 1-9.
- Pedram, H., 1991- Earthquakes, Tectonics Activities and Landslides, Proceeding of the first international conference on Seismology and Earthquake Engineering, Vol. I. May 27-29, International Institute of Earthquake Engineering and Seismology (IIEES) Tehran, Iran.
- Pradhan, B., 2011- An Assessment of the Use of an Advanced Neural Network Model with Five Different Training Strategies for the Preparation of Landslide Susceptibility Maps. Journal of Data Science, No. 9, Pp. 65-81.
- Saaty, T. L., 1980- The Analytic Hierarchy Process, New York: McGraw Hill. International.
- Tavakoli, B. & Ghafory- Ashtiany, M., 1999- Seismic Hazard Assessment of Iran, Annali Di Geofisica, Vol 42, No. 6, pp. 1013-1021.
- Varnes, D. J., 1984- Landslide Hazard Zonation: A Review of Principles and Practice. UNESCO Press, Paris, P. 176.
- Wells. D. L. & Coppersmith. K. J., 1994- New Empirical Relationships among Magnitude, Rupture Length, Rupture Width, Rupture Area, and Surface Displacement, Bulletin of the Seismological Society of America, Vol. 84, No. 4, Pp. 974-1002, August 1994.
- Zare, M., 1995- Site Dependent Attenuation of Strong Motion for Iran, Proc. 5<sup>th</sup> Int conf on seismic zonation (pp. 1222-1231), Nice, France: Quest Publication.

# Landslide Hazard Zonation in Tehran Province Using Data-Driven and AHP Methods

F. Kamranzad<sup>1\*</sup>, E. Mohasel Afshar<sup>1</sup>, M. Mojarrab<sup>2</sup> & H. Memarian<sup>3</sup>

<sup>1</sup> M.Sc. Student, Faculty of Mining Engineering, College of Engineering, University of Tehran, Tehran, Iran

<sup>2</sup> Ph.D. Student, Faculty of Mining Engineering, College of Engineering, University of Tehran, Tehran, Iran

<sup>3</sup> Professor, Faculty of Mining Engineering, College of Engineering, University of Tehran, Tehran, Iran

Received: 2014 January 25

Accepted: 2015 March 01

## Abstract

Landslide is one of the natural phenomena which can cause catastrophic losses or damages in life and property each year. Hence, it is very important to recognize landslide-prone areas and apply methods to prevent or reduce slope instabilities and landslide hazard and risk. For this purpose, landslide hazard zonation is one of the indirect and efficient methods. This study aims to apply data-driven and AHP methods to provide a zonation map of landslide hazard potential in the Tehran province of Iran. First, six essential and available factors including slope, slope direction, geologic background, distance from faults, earthquake acceleration and rainfall were selected to be classified in GIS based on engineering judgment. By superposing data layers over landslide distribution map in data-driven method and expert judgment in AHP method, layers and sub-layers were weighted and combined. The landslide-hazard zonation map was then produced for each of the methods in GIS. Results showed that in data-driven method 92.9% of landslides fall into the perilous zone (i.e. hazardous and very hazardous zones) having an area of 7135.15 km<sup>2</sup>, which is 37.2% of total area of Tehran province. For the AHP method, 96.47% of the landslides were in perilous zone with an area of 10344.7 km<sup>2</sup>, which is 53.9% of the total area of the province. Finally, the ratio of percentage of landslides in the perilous zone to the percentage of total area of the zone was calculated. The ratio is 2.5 for the data-driven and 1.79 for the AHP method. The larger ratio in the data-driven method indicates its better consistency than the AHP method, implying more coverage of landslides in a smaller perilous area by the data-driven method. This result represents better accuracy of the data-driven method than the AHP method in landslide hazard zonation.

**Keywords:** Zonation, Landslide Hazard, Data-Driven, AHP, Tehran Province, GIS.

For Persian Version see pages 101 to 114

\*Corresponding author: F. Kamranzad; E-mail: f\_kamranzad@ut.ac.ir